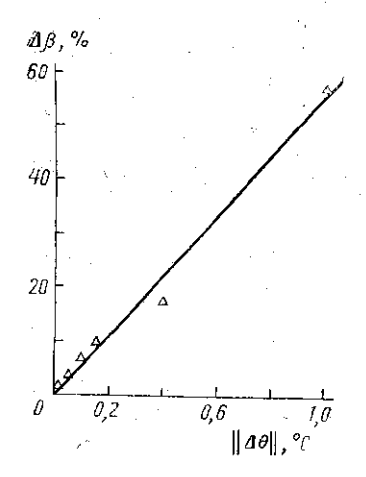
*соответствующие точным значениям $\beta(\theta)$ для режимов охлаждения, полученных при минимизации $K_{p_0}(\cdot)(a)$, $K_{p_1}(\cdot)(b)$ и $K_{p_2}(\cdot)(s)$. Видно, что точность нахождения $\beta(\theta)$ в некоторой точке растет вместе с рос-



том доли фазового превращения вблизи этой точки, а для приведенных гистограмм характерно «расплывание» в интервале $[\![\rho_1 , \ \rho_2]\!]$ с ростом s, что приводит κ удовлетворительному восстановлению $\beta(\theta)$ и a. На рис. 2 представлена зависимость точности восстановления $\beta(\theta)$ от систематической погрешности задания $\theta(t)$. Здесь $\|\Delta\theta\|$ означает равномерную норму. Из рис. 2 следует, что задание $\theta(t)$ с точностью $10^{-1}\,^{\circ}$ С в рамках рассматриваемой модели обеспечивает восстановление $\beta(\theta)$ с ошибкой не более 7%.

Рис. 2. Зависимость точности восстановления величины β от погрешности задания температуры θ

В заключение авторы выражают благодарность проф. А. Г. Свешникову за плодотворные обсуждения работы.

ЛИТЕРАТУРА

[1] Agarwal P. K., Brimacombe J. K.//Metall. Trans. 1981. B12. P. 121. [2] Hawbolt E. B., Ghau B., Brimacombe J. K.//Metall. Trans. 1983. A14. P. 1803. [3] Avrami M.//J. Chem. Phys. 1939. 7. P. 1103; 1940. 8. P. 212. [4] Visintin A.//IMA J. Appl. Math. 1987. 35. P. 143. [5] Попов А. А., Попова Л. Е. Изотермические и термокинетические диаграммы распада переохлажденного аустенита. М., 1965. [6] Блантер М. Е. Фазовые превращения при термической обработке стали. М., 1962. [7] Гласко В. Б., Щепетилов А. В.//ЖВМ и МФ. 1991. 31, № 12. С. 1826. [8] Тихонов А. Н., Арсенин В. Я. Методы решения некорректных задач. М., 1974. [9] Химмельблау Д. Прикладное и нелинейное программирование. М., 1975.

Поступила в редакцию 24.03.93

ВЕСТН. МОСК. УН-ТА. СЕР. 3, ФИЗИКА. АСТРОНОМИЯ. 1994. Т. 35, № 1

УДК 517.532.5

О ЯВЛЕНИИ КВАЗИФРОНТА В НЕСЖИМАЕМОЙ СТРАТИФИЦИРОВАННОЙ ЖИДКОСТИ

X. Б. Аллахвердиев, Ю. Д. Плетнер, М. А. Соловьев (кафедра математики)

Изучаются особенности распространения нестационарных внутренних волн от точечного источника мгновенного действия в несжимаемой стратифицированной жидкости. Полученные численные результаты дают возможность изучить структуру квазифронта, распространяющегося от источника в «небуссинесковской» жидкости и провести сравнения с волновой картиной в приближении Буссинеска.

1. Введение

Задачи теории нестационарных внутренних волн в стратифицированных и вращающихся жидкостях продолжают привлекать внимание исследователей, с одной стороны, в силу их прикладной значимости, а

с другой — вследствие большого теоретического содержания возникаю-

щих здесь проблем.

При изучении внутренних воли часто используется так называемое приближение Буссинеска [1]. Для слабо стратифицированных жидкостей его применение в большинстве случаев является оправданным [1]. Уравнения динамики стратифицированных жидкостей в приближении Буссинеска [2, 3], а также родственные ему уравнения динамики вращающихся жидкостей [4—6] и основные начально-краевые задачи изучены практически полностью [1—6].

Этого нельзя сказать про полное уравнение внутренних волн, возникающее при исследовании длинных волн или волн в сильно стратифицированных жидкостях. При этом оказывается, что учет «небуссинесковских» членов в уравнении внутренних волн приводит в конечном счете не только к внесению некоторых уточнений в волновую картину, но и к выявлению качественно новых эффектов, таких как явление квазифронта [3, 7]. Настоящая работа посвящена исследованию структуры квазифронта в задаче о внутренних волнах, возбуждаемых точечным источником мгновенного действия.

2. Уравнение внутренних волн и его фундаментальное решение

Будем рассматривать колебания идеальной несжимаемой стратифицированной жидкости в декартовой системе координат (x_1, x_2, x_3) , предполагая, что жидкость является экспоненциально стратифицированной вдоль оси Ox_3 , т. е. ее плотность в невозмущенном состоянии имеет вид

$$\rho_0(x_3) = \rho_0 \exp\{-2\beta x_3\}, \quad \beta > 0.$$

Линейные нестационарные внутренние волны в рассматриваемой жидкости описываются уравнением [3]

$$\frac{\partial^2}{\partial t^2} \left(\Delta_3 U - \beta^2 U \right) + \omega_0^2 \, \Delta_2 U = 0, \tag{1}$$

где Δ_3 и Δ_2 — операторы Лапласа по переменным x_1 , x_2 , x_3 и x_1 , x_2 соответственно, ${\omega_0}^2$ — квадрат частоты Вяйсяля—Брента [1], функция U(x,t), $x \equiv (x_1, x_2, x_3)$, связана с динамическим давлением P соотношением [3]

$$P = -\frac{\partial}{\partial t} \left(\frac{\partial^2}{\partial t^2} + \omega_0^2 \right) \exp \left\{ -\beta x_3 \right\} U(x, t). \tag{2}$$

Чтобы избежать громоздких формул, перейдем к безразмерным переменным βx , $\omega_0 t$, сохраняя для них прежние обозначения x, t. При этом уравнение (1) принимает вид

$$\mathcal{L}U \equiv \frac{\partial^2}{\partial t^2} (\Delta_3 U - U) + \Delta_2 U = 0.$$

Уравнение приближения Буссинеска, в которое переходит (1), если положить β =0, в принятых безразмерных переменных имеет вид

$$\mathcal{L}_0 U \equiv \frac{\partial^2}{\partial t^2} \, \Delta_3 U + \Delta_2 U \equiv 0.$$

В [8] построено фундаментальное решение оператора \mathcal{L} :

$$\varepsilon(x, t) = -\frac{h(t)}{4\pi^2|x|} \Gamma(x, t),$$

$$\Gamma(x, t) = \int_{-\infty}^{\infty} A(\mu, \theta) \exp\{i\mu |x|\} \sin(B(\mu, \theta) t) d\mu, \tag{3}$$

$$A(\mu, \theta) = (\mu^2 + 1)^{-1/2} (\mu^2 + \cos^2 \theta)^{-1/2}, B(\mu, \theta) = A(\mu, \theta) (\mu^2 + \cos^2 \theta).$$

Здесь и в дальнейшем h(t) — функция Хевисайда, $|x| = (x_1^2 + x_2^2 + x_3^2)^{1/2}$, а θ — угол между вектором **Ох** и ортом **е**₃.

Приведем также фундаментальное решение оператора приближе-

ния Буссинеска \mathcal{L}_0 , построенное в [3]:

$$\varepsilon_0(x, t) = -\frac{h(t)}{4\pi^2|x|} \int_{-\infty}^{\infty} A(\mu, \theta) \sin(B(\mu, \theta) t) d\mu,$$

где $A(\mu, \theta)$, $B(\mu, \theta)$ определены формулой (3).

В [7] было изучено асимптотическое поведение при $|x| \to +\infty$, $t \to +\infty$ функции $\varepsilon(x,t)$, по своему смыслу описывающей внутренние волны, вызванные точечным источником мгновенного действия. При этом свойства $\varepsilon(x,t)$ оказались существенно различными в областях $|x| > C(\theta) t$ и $|x| < C(\theta) t$, где

$$C(\theta) = \sin^2 \theta \max_{\mu \in [0,\infty)} \frac{\mu}{(\mu^2 + 1)^{3/2} (\mu^2 + \cos^2 \theta)^{1/2}}.$$

Проведенный в [7] анализ позволяет сделать вывод, что поверхность $|x| = C(\theta)t$, которая приближенно может быть задана формулой $|x| \approx \sin^2 \theta t$, представляет собой поверхность квазифронта, несущего впереди себя экспоненциально малый «предвестник», а позади — «шлейф осцилляций».

3. Результаты численного исследования и их анализ

Более детальное представление о характере квазифронта и возможность сравнительного анализа «буссинесковской» и «небуссинесковской» волновых картин дают результаты численного исследования. Такое исследование естественно провести не для фундаментальных решений $\varepsilon(x,t)$ и $\varepsilon_0(x,t)$, не имеющих непосредственного физического смысла, а для динамического давления, задаваемого формулами

$$P(x, t) = -\frac{\partial}{\partial t} \left(\frac{\partial^2}{\partial t^2} + 1 \right) \varepsilon(x, t) \exp\{-x_3\},$$

$$P_0(x, t) = -\frac{\partial}{\partial t} \left(\frac{\partial^2}{\partial t^2} + 1 \right) \varepsilon_0(x, t)$$
(4)

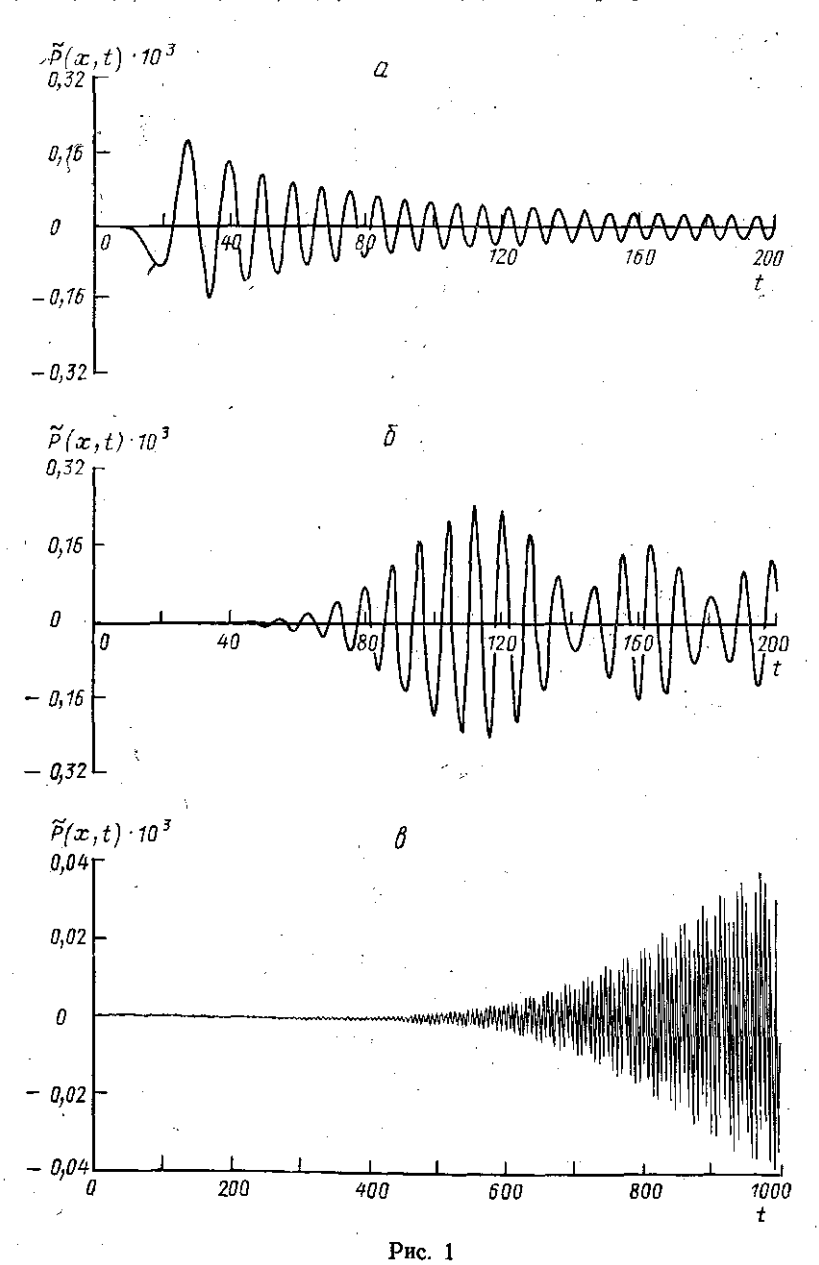
для «небуссинесковского» случая и приближения Буссинеска соответственно.

Анализ волновой картины от точечного источника мгновенного действия удобно провести в сферических координатах |x|, θ , φ . При этом из явного вида функций $\varepsilon(x,t)$ и $\varepsilon_0(x,t)$ нетрудно усмотреть, что все характеристики волн как в приближении Буссинеска, так и в «небуссинесковском» случае не зависят от угла φ . Кроме того, в приближении Буссинеска значения давления в точках, симметричных относительно плоскости x_3 =0, оказываются равными для любого t. Аналогичным свойством обладает в «небуссинесковском» случае величина

$$\widetilde{P}(x, t) = \exp\{x_3\} P(x, t), \tag{5}$$

где P(x, t) определена в (4).

На рис. I изображены графики функции $\tilde{P}(x,t)$ в зависимости от переменной t для фиксированного значения |x|=20 и различных $\theta=15^{\circ}(165^{\circ})$ (в), $45^{\circ}(135^{\circ})$ (б) и 90° (а). Эти графики наглядно под-



тверждают наличие волнового квазифронта и зависимость скорости его распространения от угла θ : время прихода квазифронта в данную точку (|x|, θ , ϕ), за которое принято значение t_0 , отвечающее первому максимуму или минимуму функции P(x,t), существенно увеличивается с уменьшением $\sin^2\theta$ и хорошо согласуется с приведенными в п. 2 результатами асимптотического исследования.

На рис. 2 изображены соответствующие графики функции $P_0(x,t)$ (4) для приближения Буссинеска. Сравнение рис. 1 и 2 показывает значительные отличия волновых картин. Отметим, что на рис. 1 по оси

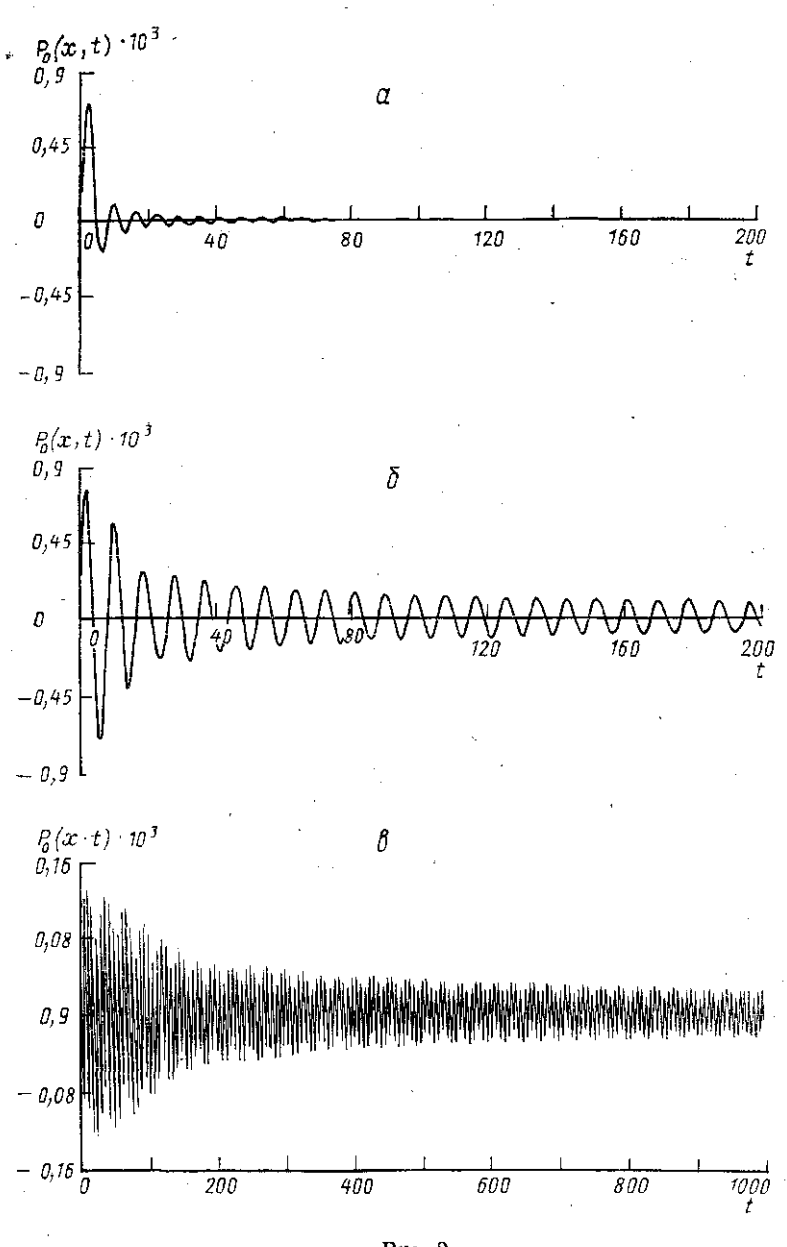


Рис. 2

ординат отложены не значения давления P(x,t), а значения функции P(x,t), определенной в (5). Таким образом, еще одним отличием «небуссинесковской» волновой картины от случая приближения Буссинеска является анизотропия в направлении оси Ox_3 : для двух точек, расположенных симметрично относительно плоскости x_3 =0, значения давления будут больше в «нижней» точке $(x_3 < 0)$.

Рисунок 3 иллюстрирует процесс распространения квазифронта: на нем приведены графики функции $\tilde{P}(x, t)$ (5) в зависимости от переменной (|x|) при $\theta = 45^{\circ}$ и значений $\dot{5}$ (1), 20 (2) и 50 (3).

В заключение авторы выражают признательность проф. А. Г. Свешникову за внимание к работе.

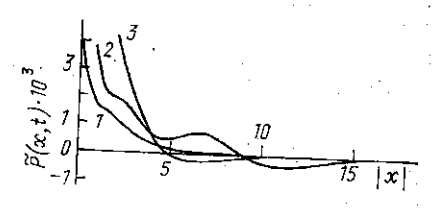


Рис. 3

ЛИТЕРАТУРА

[1] Миропольский Ю. З. Динамика внутренних гравитационных волн в океане. Л., 1981. [2] Габов С. А., Свешников А. Г. Задачи динамики стратифицированных жидкостей. М., 1986. [3] Габов С. А., Свешников А. Г. Линейные задачи теории нестационарных внутренних волн. М., 1990. [4] Соболев С. Л.// Изв. АН СССР, сер. матем. 1954. 18, № 1. С. З. [5] Зеленяк Т. И. Избранные вопросы качественной теории уравнений с частными производными. Новосибирск, 1970. [6] Масленникова В. Н.//Сиб. матем. журн. 1968. 9, № 5. С. 1182. [7] Плетнер Ю. Д.//ДАН СССР, 1991. 319, № 3. С. 604. [8] Плетнер Ю. Д.//ЖВМ и МФ. 1991. 31 № 4 С. 592. 1991. 31, № 4. C. 592.

> Поступила в редакцию 22.12.92

ВЕСТН. МОСК. УН-ТА. СЕР. 3, ФИЗИКА. АСТРОНОМИЯ. 1994. Т. 35, № 1

УДК 519.6:533.9.07

РЕЗУЛЬТАТЫ ЧИСЛЕННОГО МОДЕЛИРОВАНИЯ плазменного ускорителя

Б. А. Марков, С. А. Якунин (кафедра математики)

Построена замкнутая самосогласованная стационарная одномерная численная модель плазменного ускорителя с азимутальным дрейфом электронов. В основе модели лежит предположение о немаксвелловском виде равновесной функции распределения электронов по энергии. Рассмотрено однопараметрическое семейство функций распределения. Исследована зависимость основных величин, характеризующих физические процессы в ускорителе, как от параметра этого семейства, так и от внешних параметров, задающих внешнее магнитное поле и предварительную, «затравочную» ионизацию. Выявлен пороговый характер возникновения основного ионизационного процесса в зависимости от величины «затравочной» ионизации.

Плазменный ускоритель с азимутальным дрейфом электронов является одной из плазмооптических систем [1—4]. Он широко применяется в современной науке и технике. Основные физические процессы в ускорителе и его принципиальная конструкция подробно описаны в работах [1-4]. Математические модели разного уровня сложности, в том числе и двумерные, рассмотрены в работах [5—11]. Экспериментальные исследования [12-13] показали, что в плазмооптических системах подобного типа в условиях динамического равновесия функция распределения электронов по энергии (ФРЭЭ) имеет немаксвелловский вид. А именно: в ФРЭЭ отсутствует высокоэнергетическая часть. Это связано с тем, что в пространственно ограниченных системах электроны с большими энергиями «оседают» на стенках камеры прибора. В усдовиях квазинейтральной плазмы при наличии магнитного поля, «за-